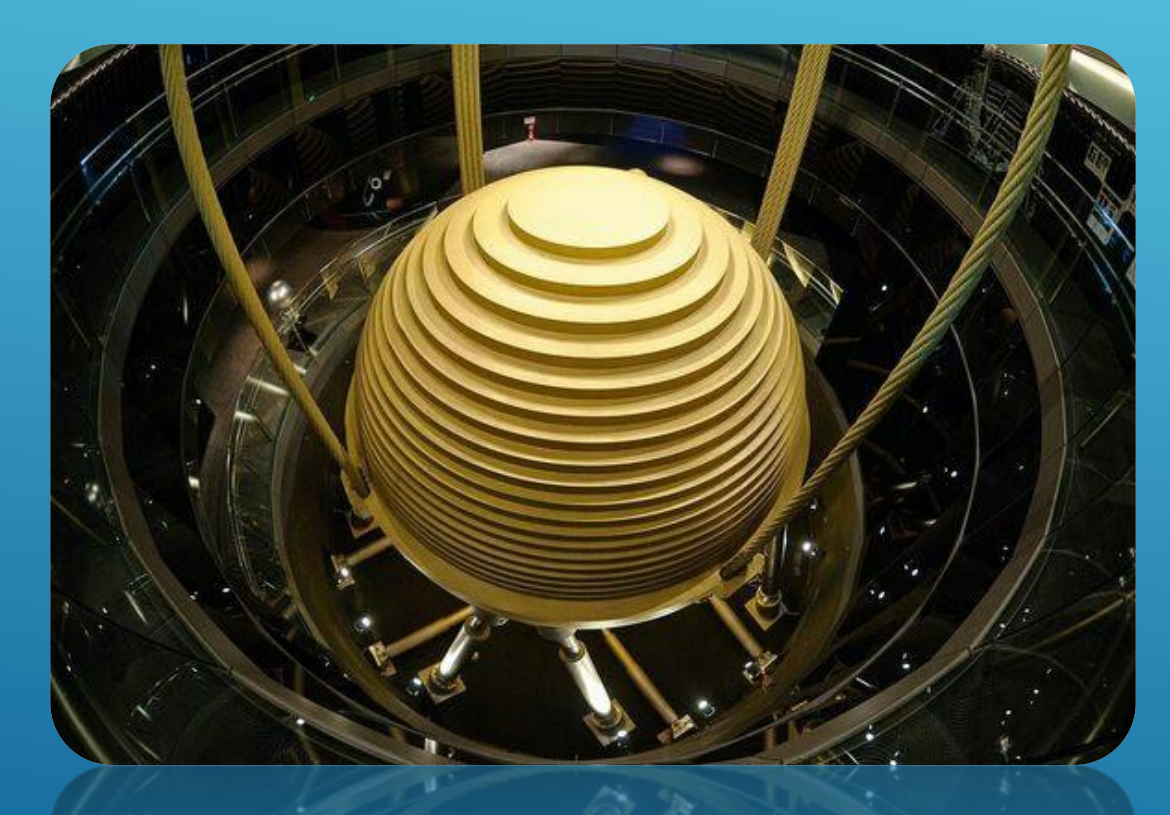


INTRODUCTION



TUNED MASS DAMPER: TOUR TAIPEI, TAIWAN



Pont de Tacoma (1940)





2 TYPES DE SOLUTIONS FACE à 2 TYPES D'EXCITATIONS :

EXCITATION HARMONIQUE: SYSTÈME MASSE RESSORT

BREVE SECOUSSE:
PENDULE PESANT A PULSATION VARIABLE

PRESENTATION DE LA TOUR

Tour = 4 tiges métalliques + toit stabilisateur

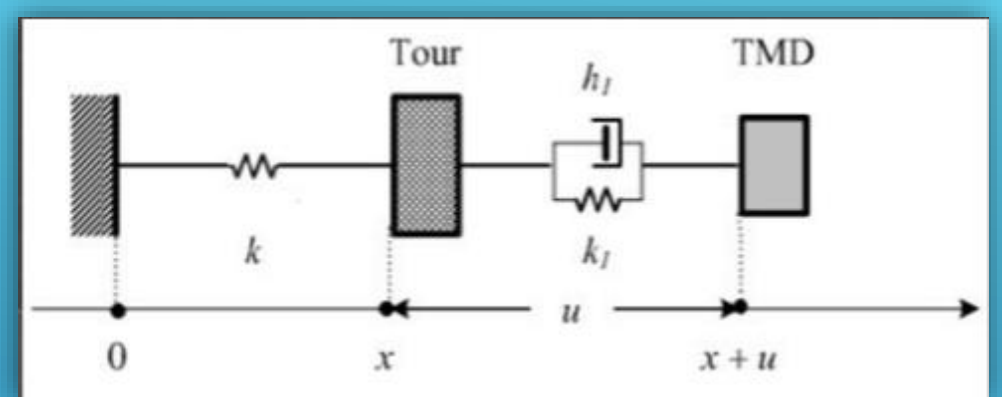


Tour de Taipei



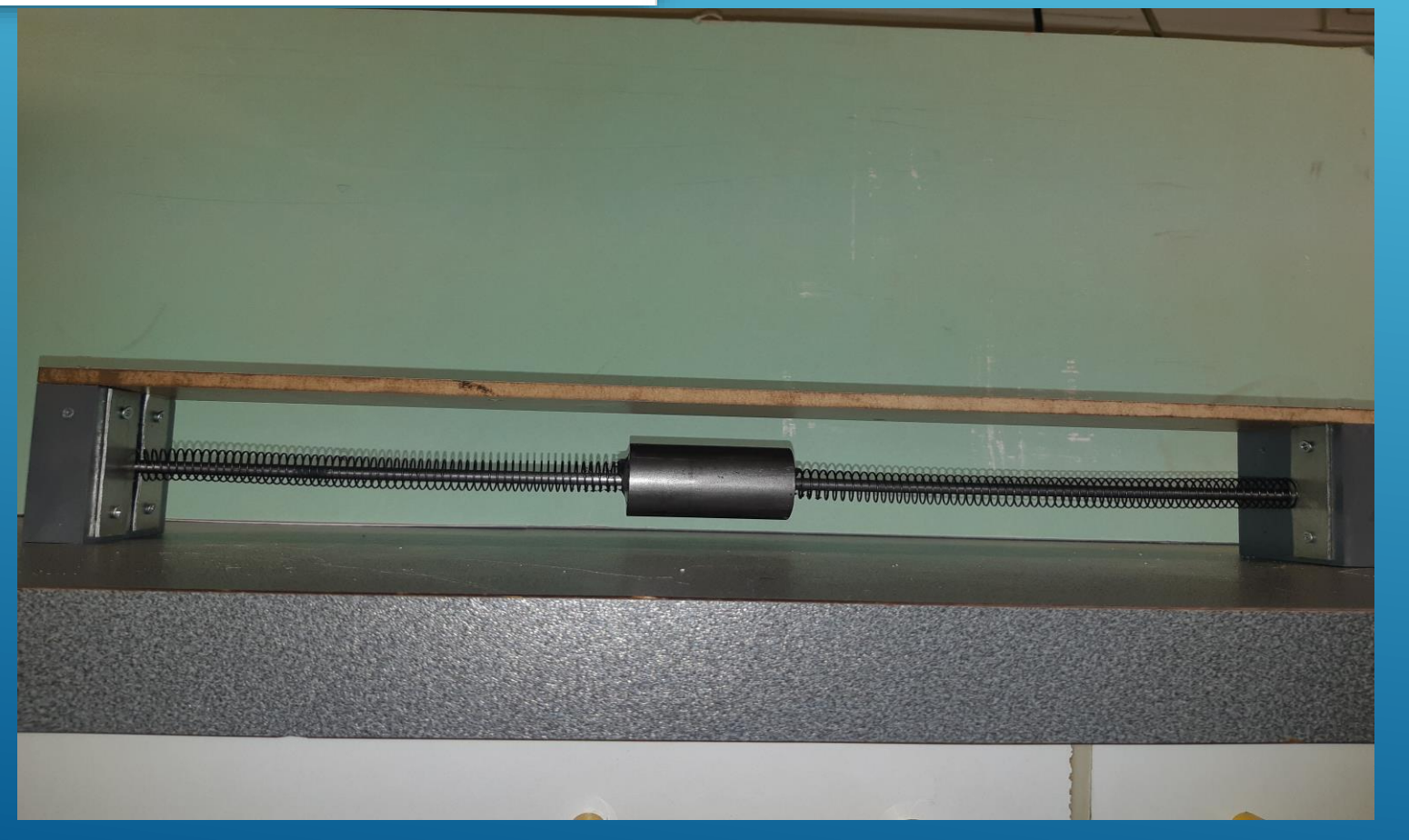
4 roues sur 2 rails

MODÈLE / PRATIQUE :



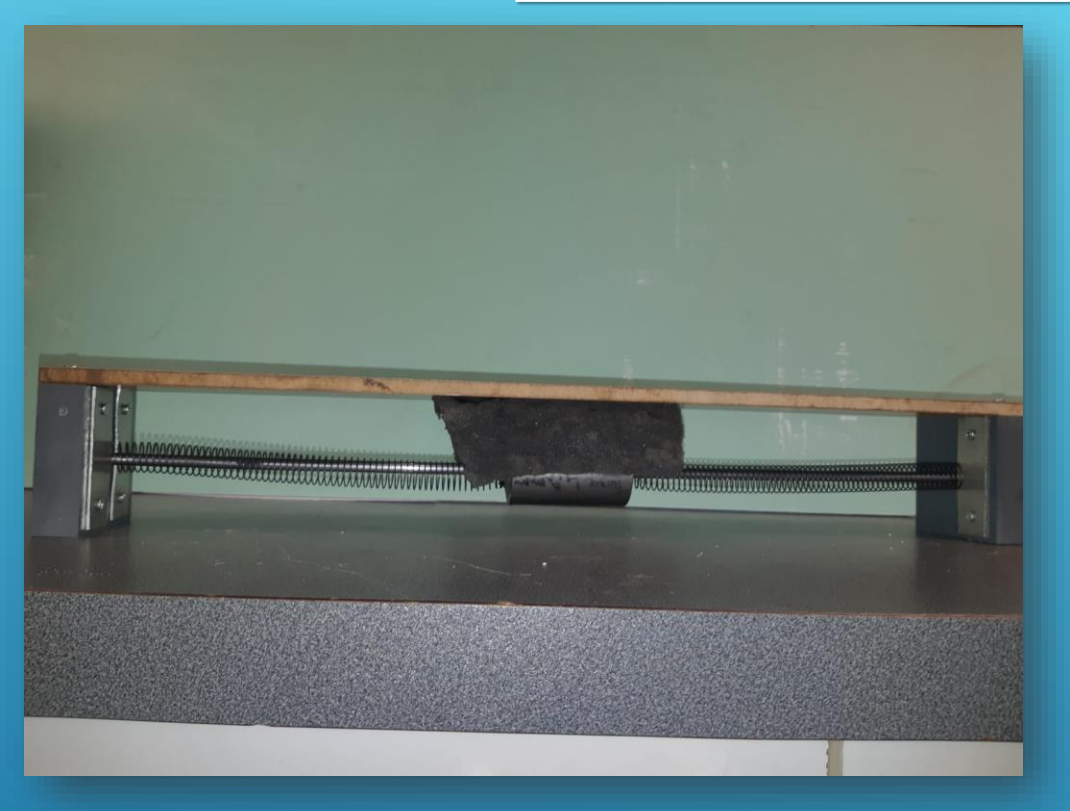
Pulsation propre du système (sans TMD):

 $\omega^2 = k/m$



2 ressorts de raideur 13N/m/k1= 26N/m et m1=468g/

RÉPONSE A UNE EXCITATION HARMONIQUE







Ressort à spires jointives

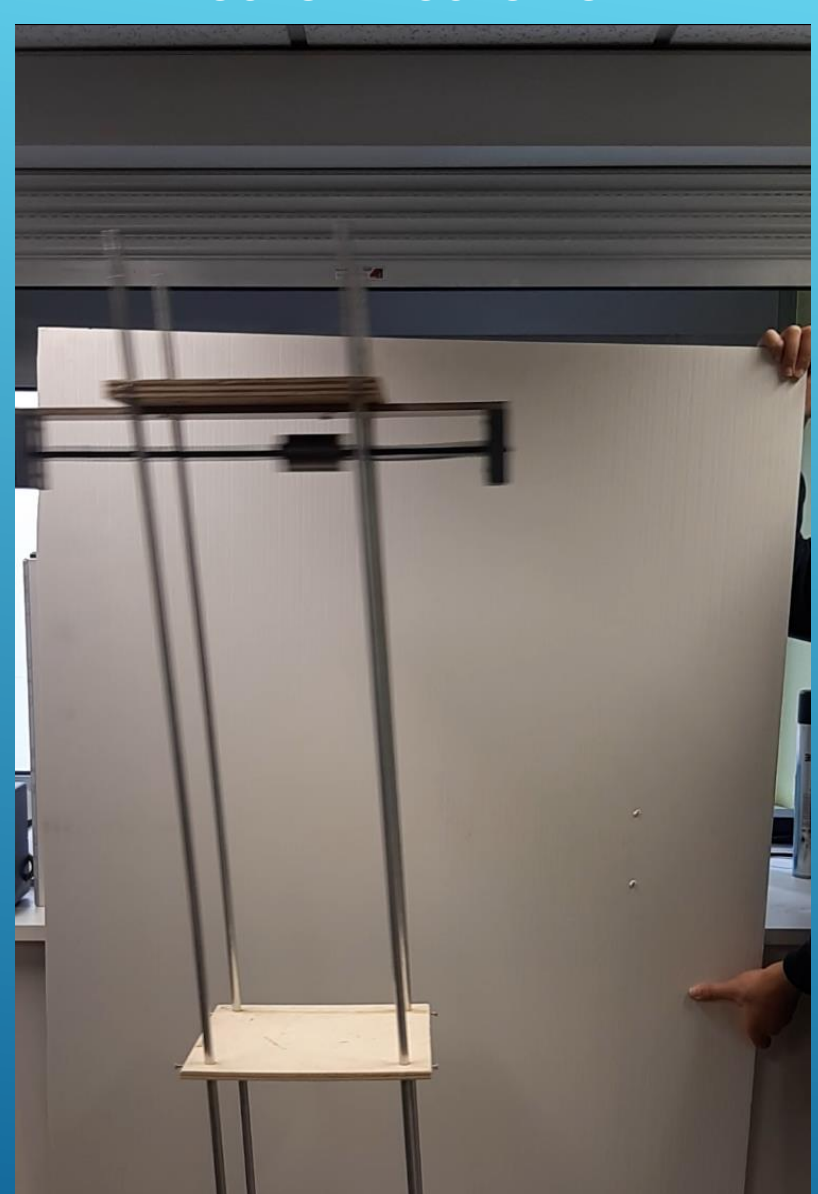


Ressort à spires non jointives



Tour en mouvement

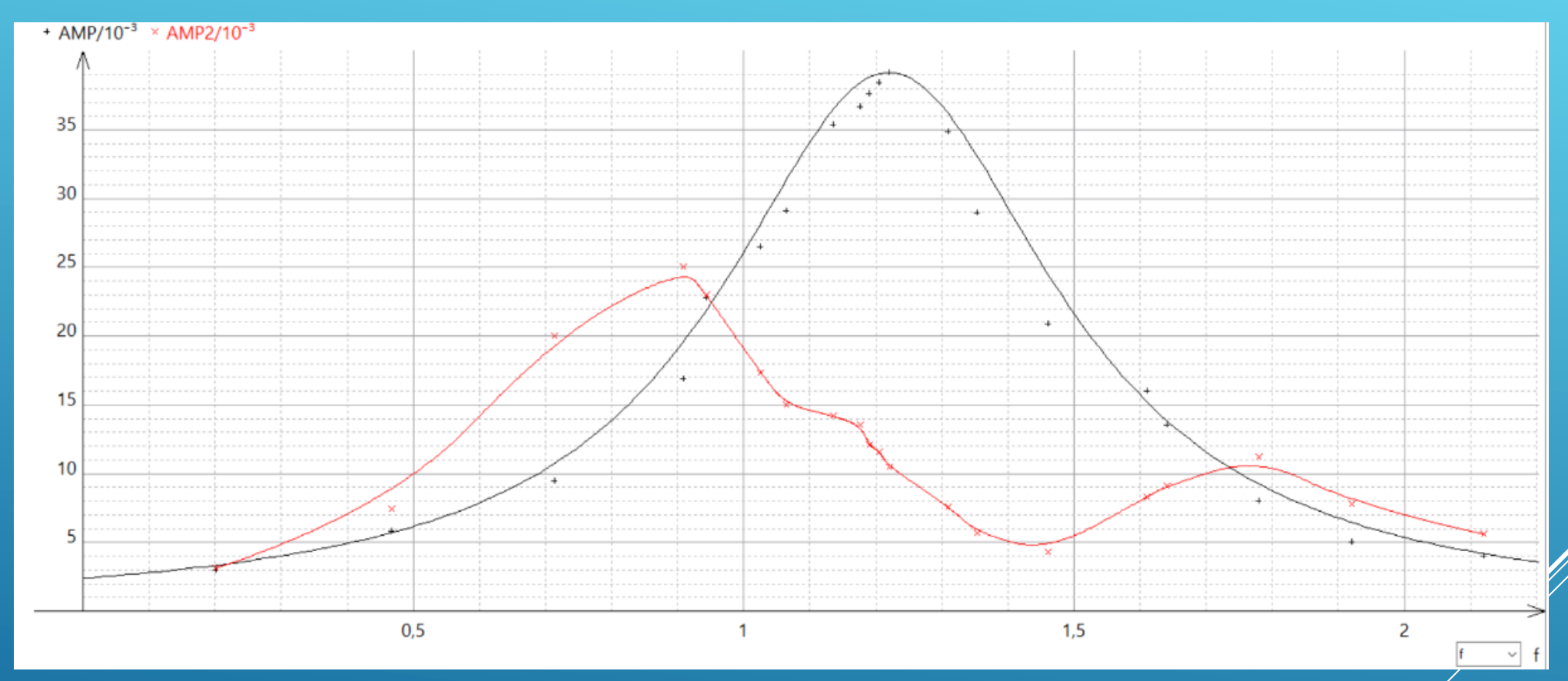






<u>Accéléromètre</u>

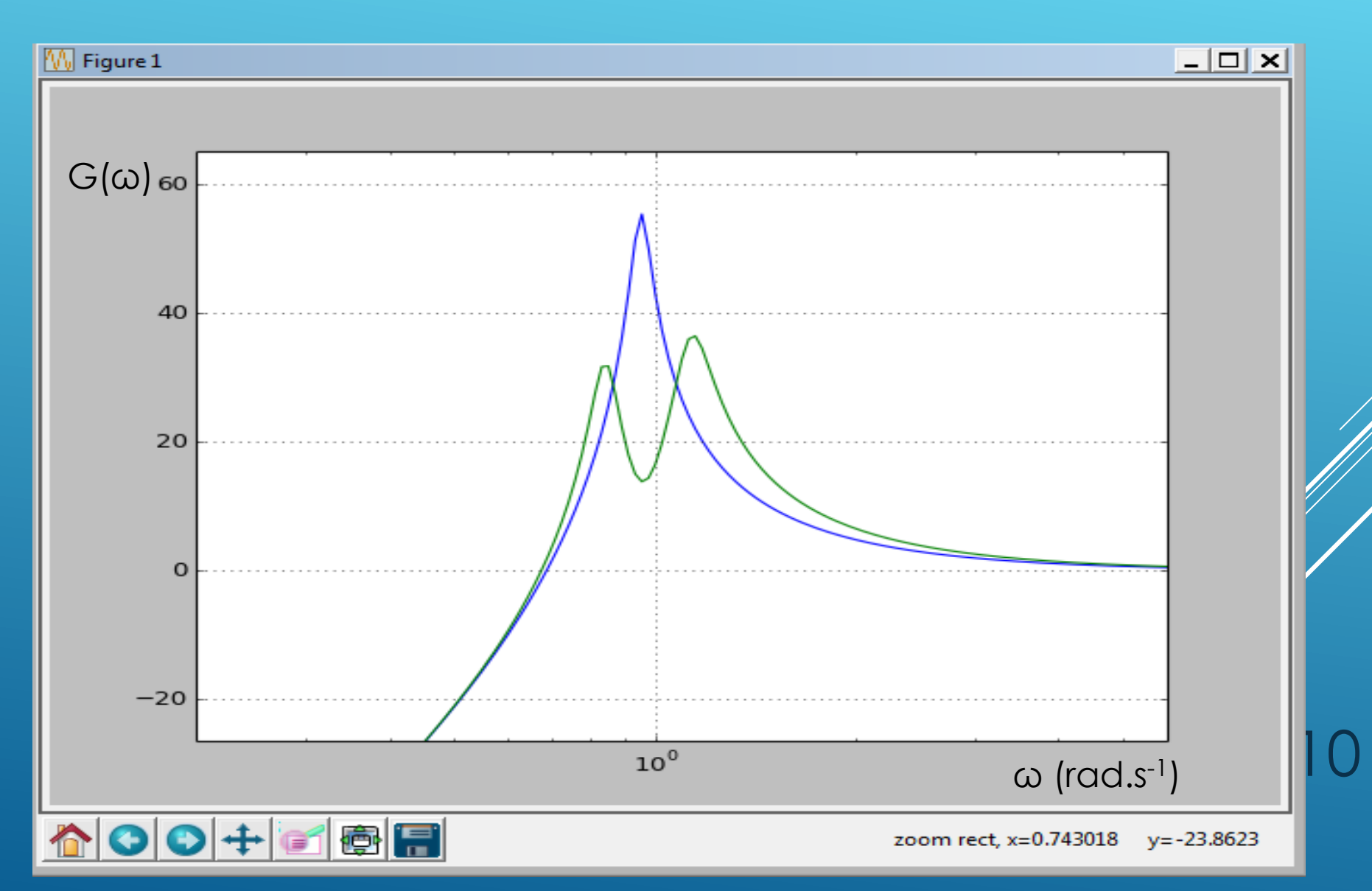
COURBES EXPÉRIMENTALES:



Evolution de l'amplitude avec la fréquence f₀=1,22Hz

RÉPONSE A UNE EXCITATION SINUSOÏDALE: THÉORIE PYTHON

Gain de la fonction de transfert traduisant l'accélération ressentie dans la tour (échelle log)



RÉPONSE A UNE EXCITATION BRÈVE



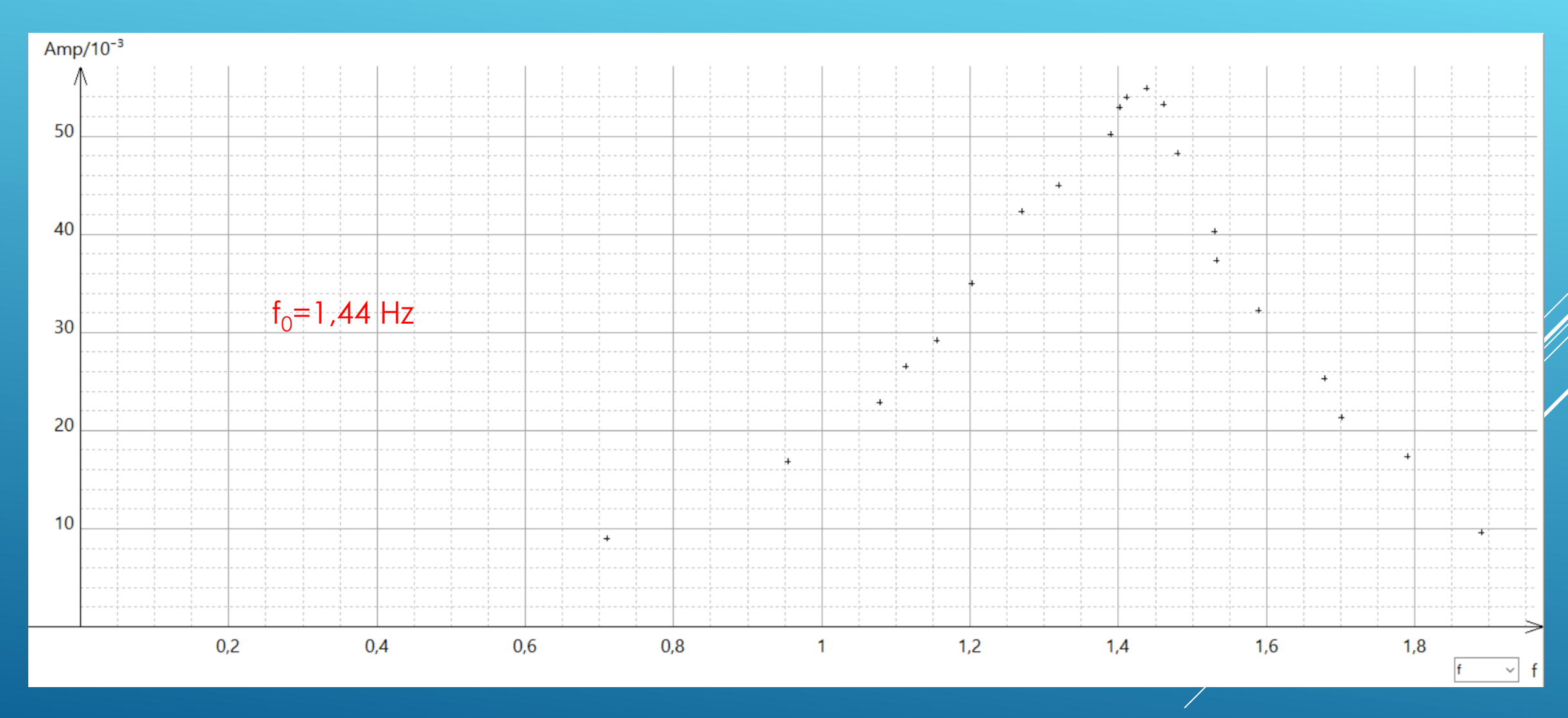


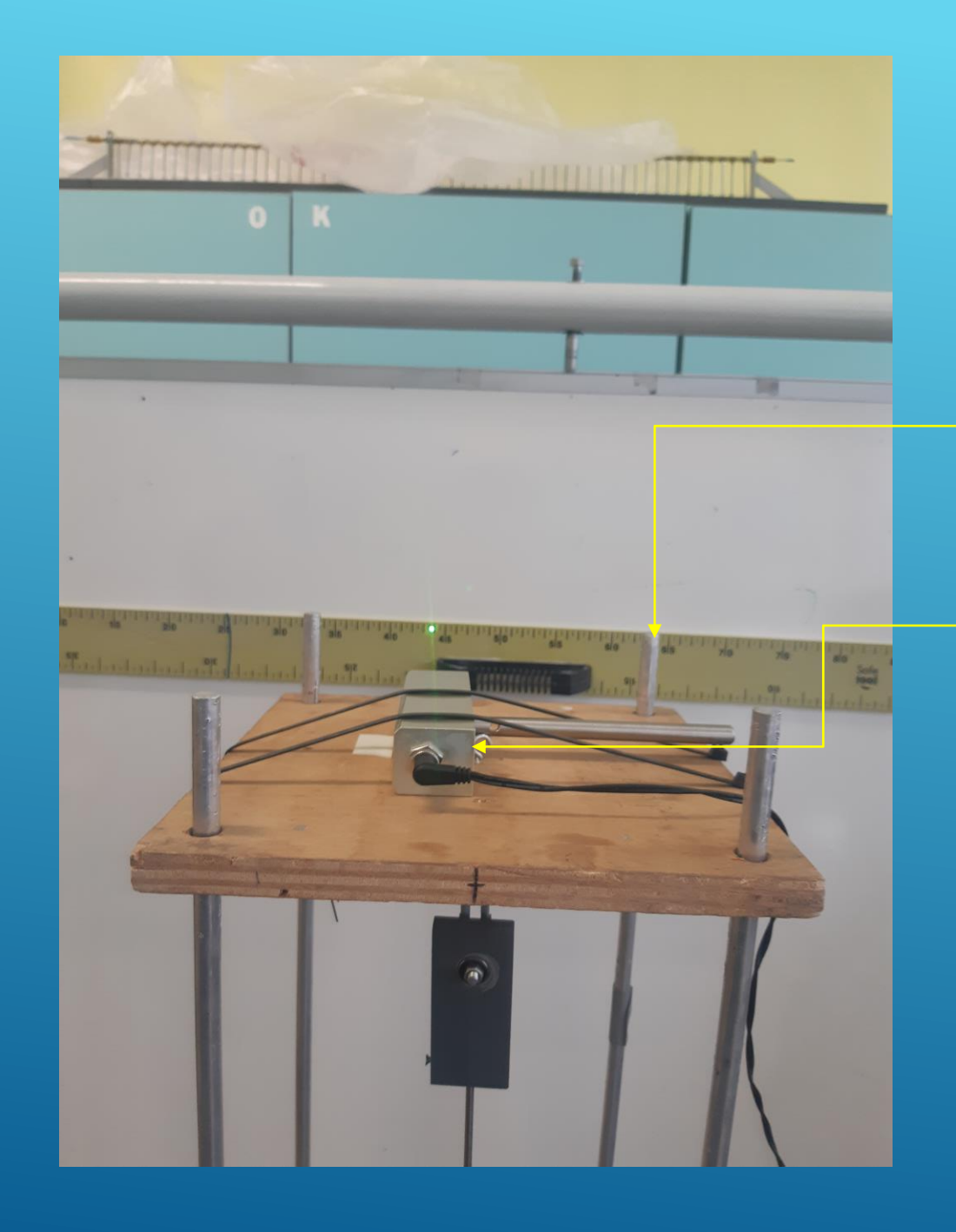
EXPERIENCE SANS EFFET PENDULE





Courbe expérimentale de l'évolution de l'amplitude en fonction de la fréquence d'excitation

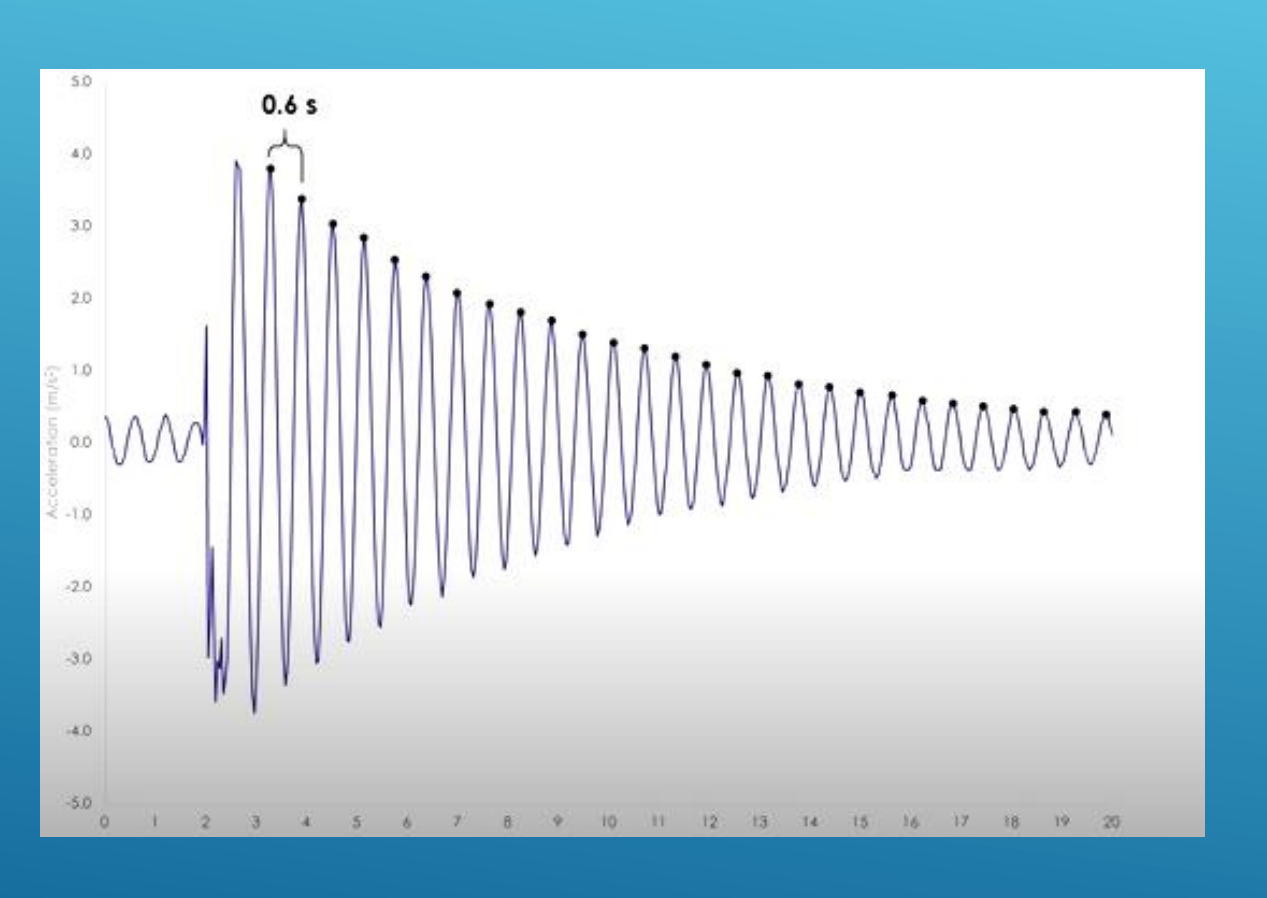


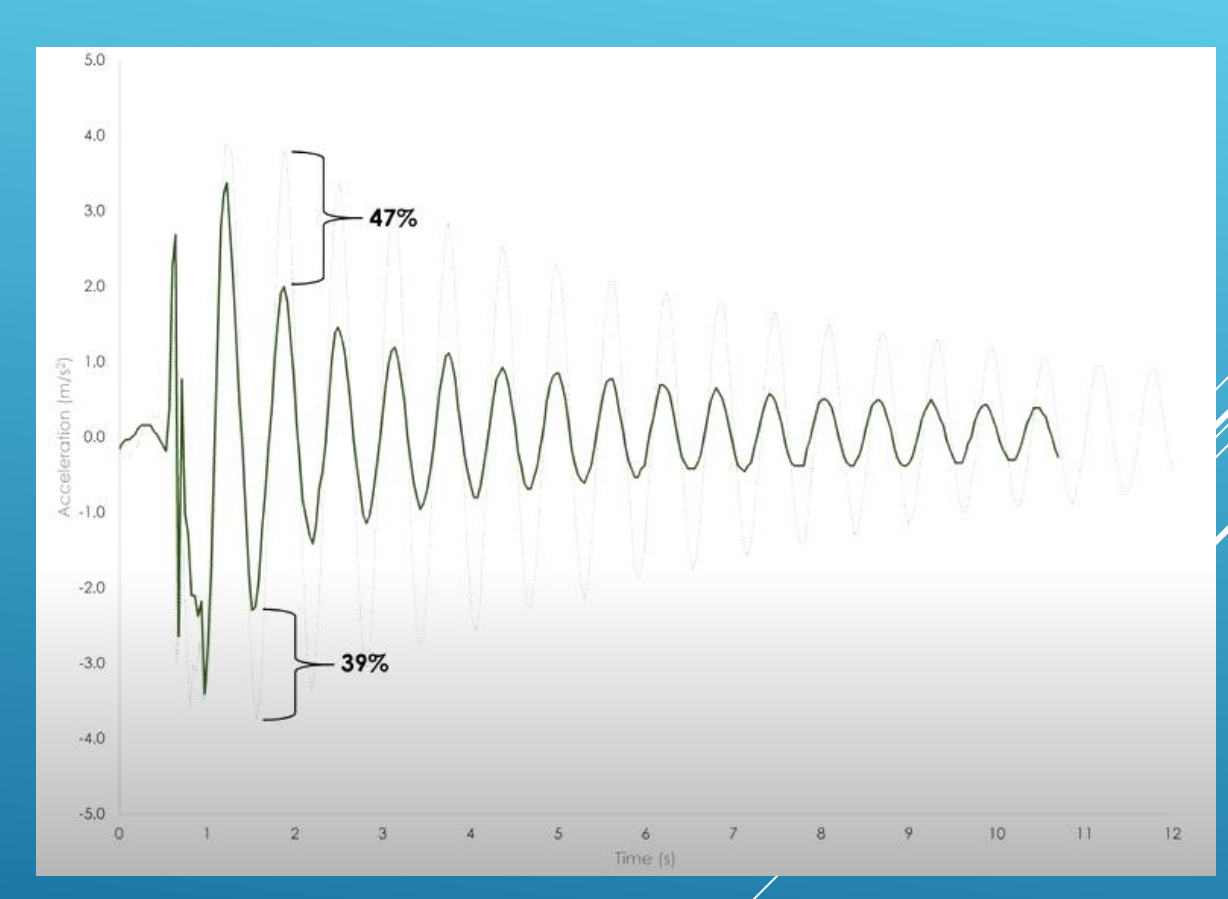


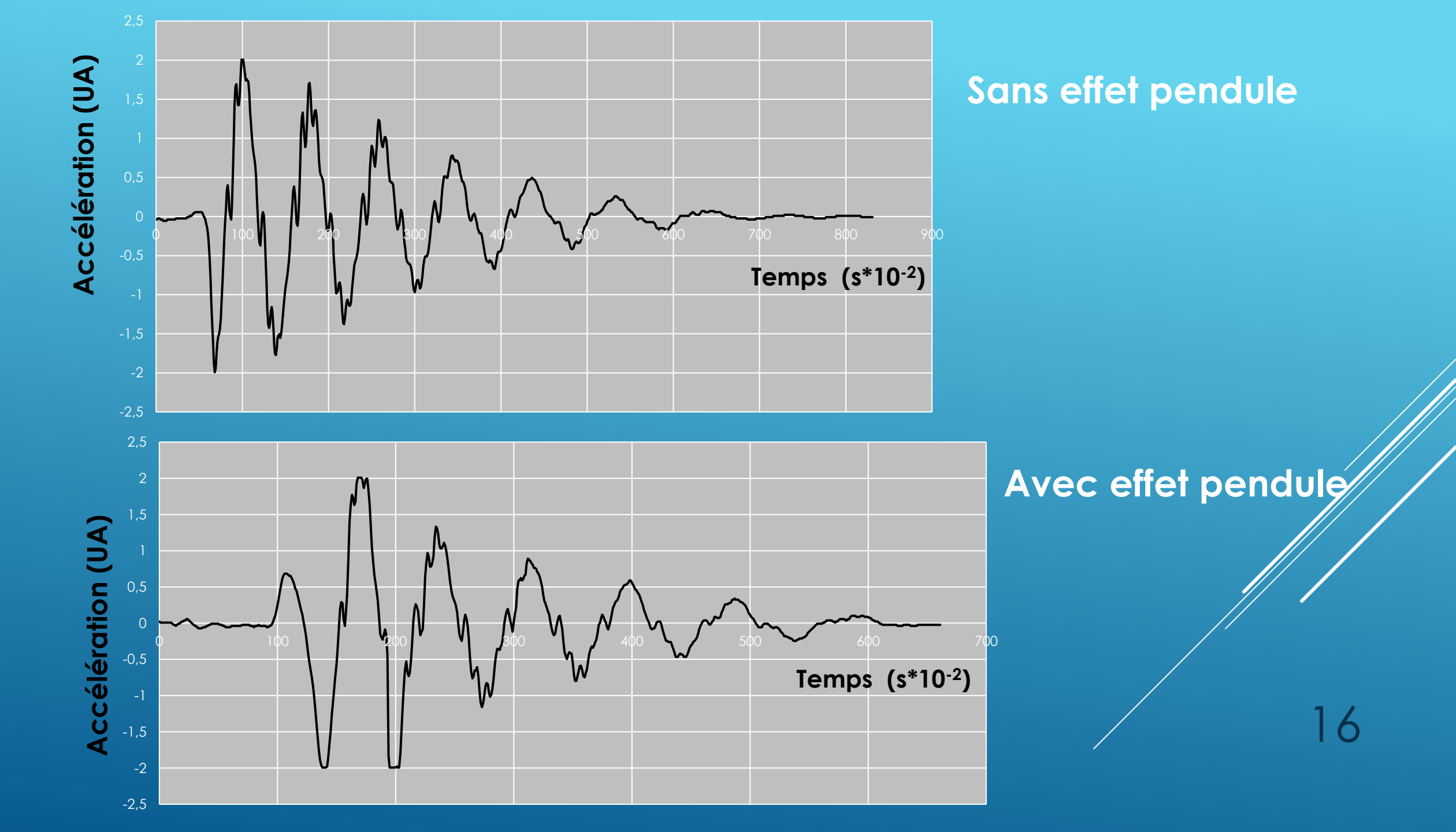
Regle

Dispositif Laser

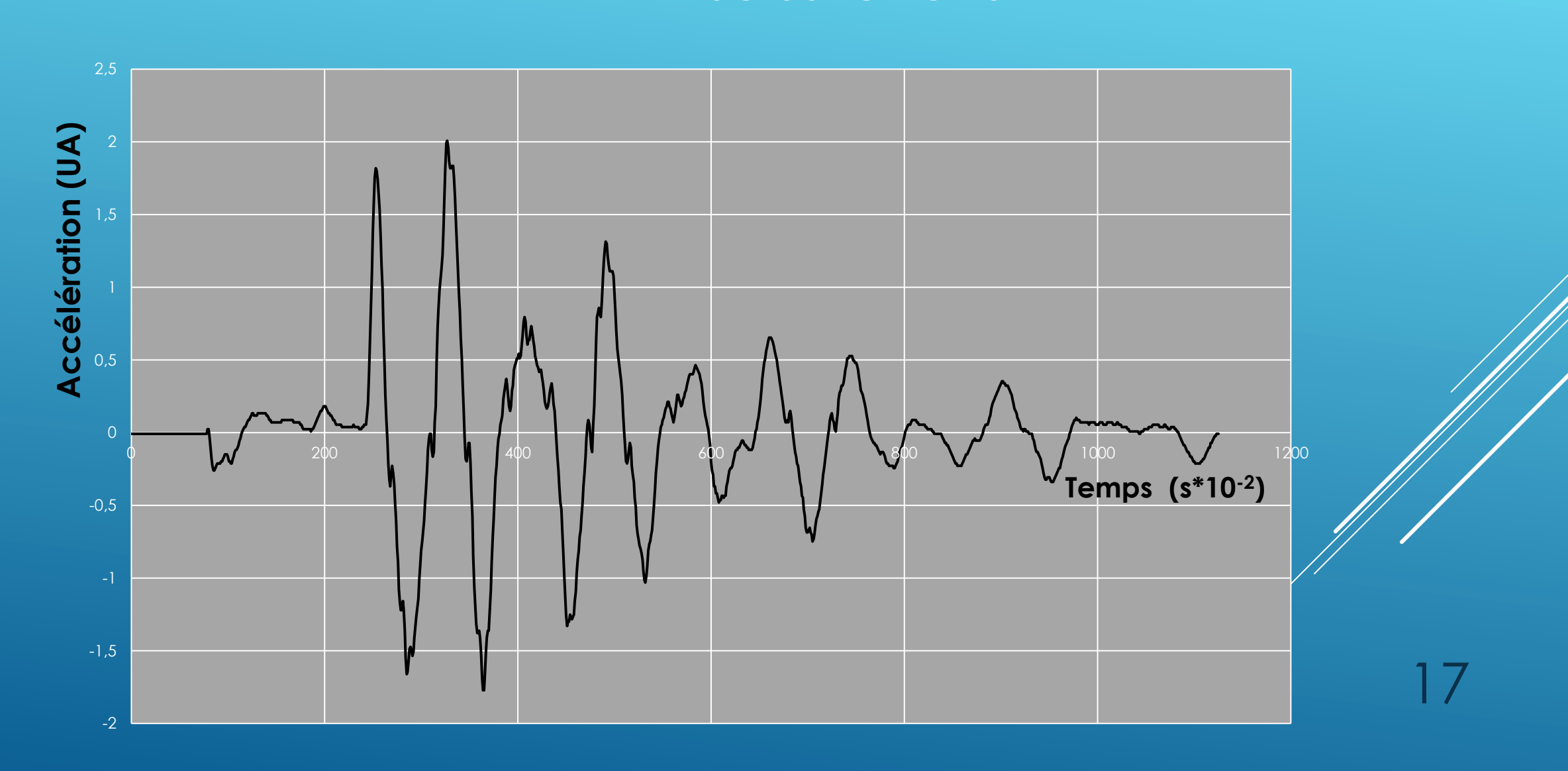
COURBES THÉORIQUES:







Apparition phenomene de battements





ANNEXE: MODELISATION DU TMD

Equations du mouvement:

$$\begin{cases} (1+\alpha) \ddot{x} + \alpha \ddot{u} + \omega_0^2 x = a_0(t) & \text{avec } \alpha = \frac{m_1}{m}, \ \omega_0 = \sqrt{\frac{k}{m}} & \text{et } a_0(t) = \frac{f_0(t)}{m} \\ \ddot{x} + \ddot{u} + 2 \eta_1 \omega_1 \dot{u} + \omega_1^2 u = 0 & \text{avec } \omega_1 = \sqrt{\frac{k_1}{m_1}} & \text{et } \eta_1 = \frac{h_1}{2\sqrt{k_1 m_1}} \end{cases}$$

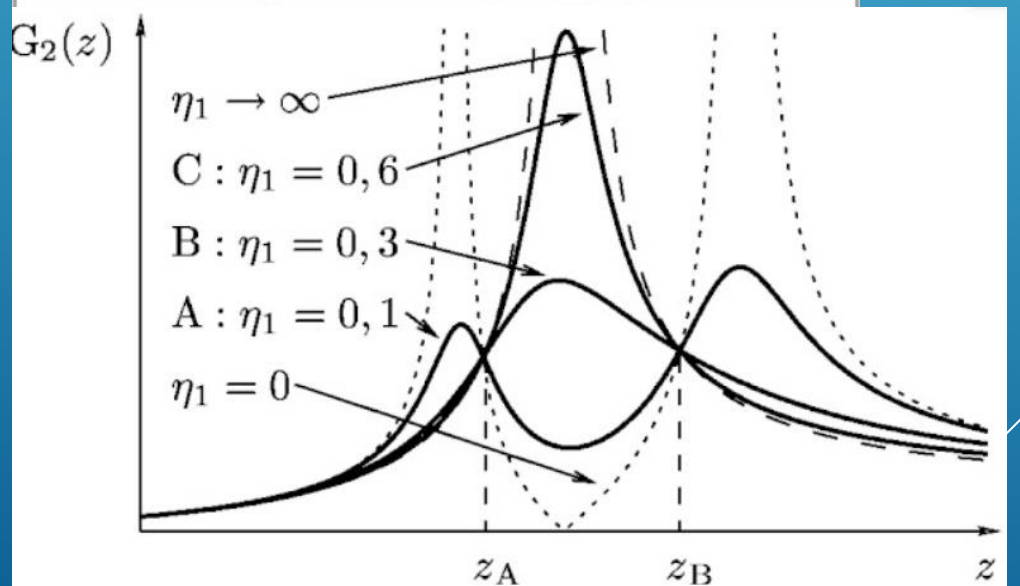
Fonction de transfert: TMD/TOUR

Fonction de transfert Accélération tour/ excitation:

Gain de H₂ (z) traduisant l'accélération ressentie dans la tour .

$$\underline{\underline{\mathbf{H}}}_{1}(z) = \frac{z^{2}}{(\beta^{2} - z^{2}) + 2i \eta_{1} \beta z} \qquad \text{où} \quad \beta = \frac{\omega_{1}}{\omega_{0}} \quad \text{et} \quad z = \frac{\omega}{\omega_{0}}$$

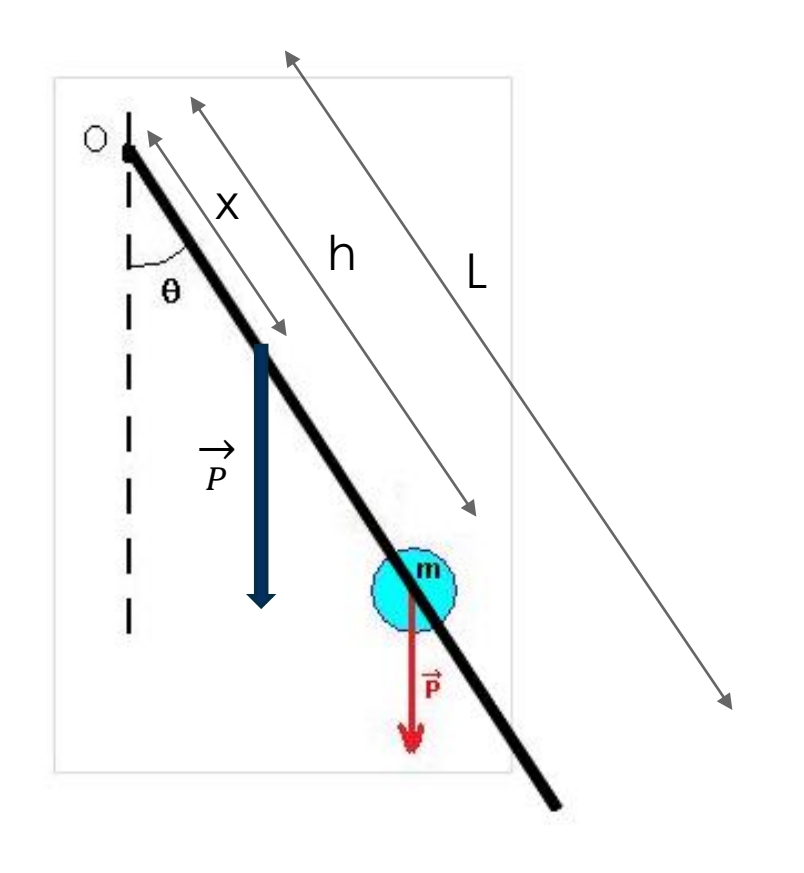
$$\underline{\mathbf{H}}_{2}(z) = \frac{z^{2}}{\left(1 + \alpha + \alpha \, \underline{\mathbf{H}}_{1}(z)\right) \, z^{2} - 1}$$



Recherche centre de gravité de la tige sans masselotte (grandeur x sur page 21 suivante) :



$$T_0 = 2\pi \sqrt{\frac{\frac{1}{3}ML^2 + mh^2}{mgh + Mgx}}$$



Données:

m=150g

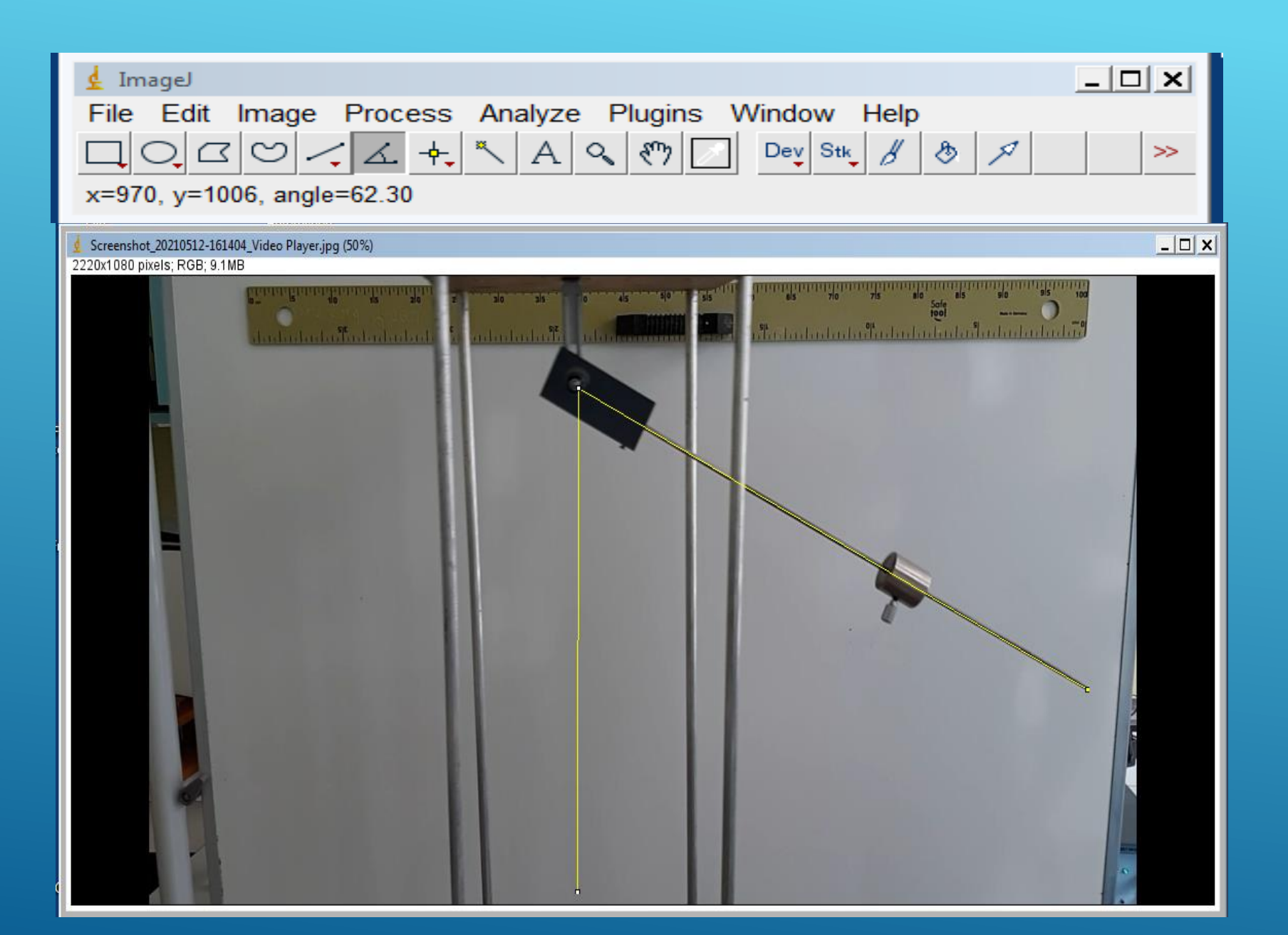
M=50g

h=13cm

x=12,5cm

L=40cm

$$\theta_0 = 60^o$$



$$\frac{T}{T_0} \approx 1 + \frac{1}{16}\theta_0^2$$

```
tipe.py - D:\tipe.py (3.9.5)
File Edit Format Run Options Window Help
from matplotlib.pyplot import*
from numpy import *
from pylab import *
j = complex(0,1)
eta1=0.8
eta2 = 0.1
beta=0.953
alpha=0.1
def H11(z):
    return (z^{**2})/((beta^{**2})-(z^{**2})+2*j*eta1*beta*z)
def H12(z):
    return (z^{**2})/((beta^{**2})-(z^{**2})+2*j*eta2*beta*z)
def H21(z):
    return ((z**2)/((1+alpha+alpha*H11(z))*(z**2)-1))
def H22(z):
    return ((z^{**2})/((1+alpha+alpha*H12(z))*(z^{**2})-1))
puissance z = arange(-2, 3, 0.01)
Z = 10**puissance z
module1 = 20*log(abs(H21(Z)))
module2=20*log(abs(H22(Z)))
semilogx(Z,module1)
semilogx(Z,module2)
grid (True)
show()
```